

## Evaluation of the Surface Temperature and Study of Its Effects on the Dry Sliding Wear Characteristics of a Bainitic Ductile Cast-Iron

Dr. Adel K. Mahmoud<sup>ID</sup>

Engineering College, University of Diayala/Diayala

Email: adel\_alkayali@yahoo.com

Received on: 12/11/2013 & Accepted on: 2/4/2015

### ABSTRACT

This work shows the evaluation process of the surface temperature by using heat sink (thermocouple) technique from type Alumel-Chromel (Ni-Al/ Ni-Cr) and to study its effect on the dry sliding wear characteristics of a bainitic ductile cast – iron. These characteristics represented with wear rates and coefficient of friction, which evaluated by using Pin on Disc machine under different laboratories conditions involved four applied normal loads (10, 20, 30, 40)N and three linear sliding speeds (1.4, 2.2, 3.0)mm/sec at room temperature. The present work shows the dry sliding wear characteristics and variables depend on the surface temperature generated during wear test. So, it can't ignore these effects during the service. In addition to, it must be avoided using loads range (30-40)N and temperature range (310-360)°C during practical applications it may be used this alloy within these ranges, because of both the two ranges may be led to occur severe wear of the bainitic ductile cast – iron surfaces with other counter surfaces of its working conditions.

**Keywords:** - Surface temperature, dry sliding wear characteristics, bainitic ductile cast-iron.

### تقييم درجة الحرارة السطحية ودراسة تأثيرها على خصائص البلي الانزلاقي الجاف لحديد الزهر اللدن البايني

### الخلاصة

تضمنت الدراسة تقييم درجة الحرارة السطحية باستخدام تقنية الغاطس الحراري (المذروج الحراري) من نوع الالوميل – الكروميل وتأثيرها على خصائص البلي الانزلاقي الجاف لحديد الزهر اللدن البايني والتي تمثلت بمعدلات البلي ومعامل الاحتكاك فقد تم تقييمها باستخدام جهاز قياس البلي الانزلاقي الجاف ذي ترتيبة المسamar على القرص وتحت ظروف مختبرية مختلفة تمثلت باستخدام اربعة احمال عمودية (٤٠، ٣٠، ٢٠، ١٠) نيوتن وثلاثة سرع انزلاقية خطية (٣.٠، ٢.٢، ١.٤) متر/ثانية وعند درجة حرارة الغرفة. تبين بأن متغيرات عملية البلي الانزلاقي الجاف والمتمثلة بالاحمال والسرع الانزلاقية المستخدمة في هذه الدراسة البحثية تعتمد بصورة رئيسية وكبيرة جدا على درجات الحرارة الناتجة عنهم بالرغم من ان تأثيرهما على البلي لا يمكن ان يهمل عملياً. بالإضافة الى ذلك يجب تجنب استخدام مدى الاحمال (٣٦٠-٣١٠) نيوتن ومدى درجات الحرارة من (٣٠-٤٠) °C عند التطبيقات العملية التي تستخدم فيها هذه السبيكة اثناء اعمالية انزلاقها واحتكاكها مع المواد الاخرى في العديد من التصاميم والتطبيقات العملية التي تستخدم فيها ، وذلك لكون هذه المديات من الاحمال ودرجات الحرارة تؤدي الى حصول بليان شديد (severe wear) لسطح سبيكة حديد الزهر اللدن البايني وبمعدلات كبيرة وذلك نتيجة لحدوث انتقال مادة هذه السبيكة الصناعية الى سطح المادة المحكمة معها والمرافق لها اثناء عمليات الاحتكاك والانزلاق الجاف التي تحدث اثناء العمل والخدمة.

## المقدمة

أن درجة الحرارة السطحية تلعب دوراً مهماً في عمليات البلي حتى وأن كان حدوث عملية الانزلاق عند الظروف الجوية الاعتيادية وأن الأجسام المنزلاقة تكون معزولة ومحفوظة عند درجة حرارة المحيط (Ambient Temperature) فإن حرارة الاحتكاك ترفع درجة حرارة السطوح الأنزلاقي المحتكمة والمراقبة بعضها البعض. ولقد بين الباحث A.D. Sarkar [1] أن ظاهرتي الاحتكاك والبلي للمعدن والسبائك مرتبطة ولدرجة كبيرة بتفاعل النتواء السطحية (Surface Asperities) للسطحين المنزلاقين على بعضهما البعض، لذلك فإن طاقة الاحتكاك المتبددة (Friction Energy Dissipated) بسبب الشغل الميكانيكي سوف تتحول إلى حرارة ، هذه الحرارة تدعى بحرارة الاحتكاك (Friction Heat). إن هذه الحرارة تسبب ارتفاعاً سريعاً جداً في درجة حرارة سطوح الأجسام الانزلاقي المحتكمة ، وبشكل خاص في نقاط التلامس الحقيقة (Points of Actual Contact) ما بين السطحين المنزلاقين وحدوث التصاق (Slipping) وانزلاق (Slipping) لنقطات الاتصال (Junctions). أن تلك الدرجات الحرارية اللحظية سوف تبقى مترقبة لفترة زمنية قصيرة جداً تقدر بحدود  $10^{-2}$  ثانية [2]. أن الحرارة الناتجة عن الاحتكاك تتربّل إلى المحيط وبالتالي فأن قمم النتواء (Asperities Tips) تكون عندها درجة الحرارة عالية جداً بينما كلّة المركب المعدني الباقي تبقى باردة نسبياً حيث يتم تبديد وضياع الحرارة بطريقة التوصيل (Conduction) [2]. لقد بين الباحث سرکار (A.D. Sarkar) [2] أنه عند زيادة الحمل المسلط أو السرعة الأنزلاقيّة ترتفع درجات الحرارة لنقطات الاتصال ما بين السطحين المحتكمين وفي الحالات القصوى للحمل المسلط والسرعة الأنزلاقيّة قد يحصل انصهار موضعي (Localized Fusion) وذلك بسبب التأثير القوي لحرارة الاحتكاك على الخصائص الترايبولوجية وفشل اغلب المركبات الأنزلاقيّة. إن درجة الحرارة السطحية والقريبة من السطح قد حظت باهتمام كبير من قبل العديد من الباحثين الترايبولوجيين وعلى مدى سنوات عديدة [3-7]، حيث استخدمو الطرق التجريبية والتحليلية (Experimental and Analytical Methods) في تحديدها لأهميتها الكبيرة في الدراسات الترايبولوجية . لقد قام الباحث (B.K. Gupta) [8] بدراسة تأثير درجة الحرارة على السلوك الترايبولوجي للمعدن، حيث بينوا عندما ترتفع درجة الحرارة للأسطح الأنزلاقيّة المحتكمة، فإن الطاقة اللازمة لأنصهار والتحام كل زوج من النتواءات السطحية (Pair of Asperities) المقابلة سوف تقل وبهذه الحالة سوف يؤدي ارتفاع درجة الحرارة إلى الزيادة في معدل البلي. أما الباحثان ( C.Lipson & L.V. Colwell [9] فقد توصلوا إلى أن ارتفاع درجة حرارة الاحتكاك للسطح المعدني يؤدي إلى تغيير خصائص الطبقة السطحية كما يؤدي أيضاً إلى قص رؤوس وقمم النتواءات السطحية الموجودة على الطبقة السطحية.

أن الباحثين (Sakman, Barwell, Welsh, and Wilson) [10-13] قد بينت أن ارتفاع درجة الحرارة على الأسطح الأنزلاقيّة المترافق (Mating Sliding Surfaces) يعتمد على مدى السرع الأنزلاقي المستخدمة وعلى شدة التحميل (The Severity of Loading) والتي ينتج عنها تغيرات في البنية المجهرية (Microstructural Changes) لسطح الأزواج الأنزلاقيّة المحتكمة، بالإضافة إلى قيم الصلادة التي تحسب عن طريق الانفعال الحاصل للسطح نتيجة ارتفاع درجة الحرارة . وأن التحميل الشديد (العالى) والسرع الأنزلاقيّة العالية كلاهما يزيدان من احتمالية حصول التفاعلات الكيميائية السطحية (Surface Chemical Reactions) وذلك نتيجة لارتفاع درجة حرارة السطوح الأنزلاقيّة المحتكمة . أما الباحثين (Tabor, Bunny, and Earless) [14-16] فقد بينوا أن التحميل الشديد والعلى والسرع الأنزلاقيّة العالية كلاهما يزيدان من احتمالية حصول تفاعلات كيميائية سطحية وذلك لارتفاع درجة حرارة السطوح الأنزلاقيّة المحتكمة هذا من جهة، ومن جهة أخرى فإن هذه العوامل سوف يكون لها تأثير مهم على معدل البلي، كما وتعتبر عوامل لها تأثير قوي جداً على معدل إزالة الدقائق المعدنية من السطوح الأنزلاقيّة المحتكمة.

أن الباحث (L.E. Sibley) [17] وجماعته قد درسوا تأثير الموصيلية الحرارية (Thermal Conductivity) للمعدن على سلوك البلي ، حيث انهم توصلوا من خلال دراستهم إلى أن المعدن ذات الموصيلية الحرارية العالية تمتلك مقاومة جيدة للبلي وذلك بسبب أن تبديد الحرارة خلالها يتم بوقت أقل مما في المعدن ذات الموصيلية الحرارية المنخفضة. لذلك فإن عمر البلي لكل المركبات الهندسية يتاثر بارتفاع درجة الحرارة السطحية أثناء العمليات الأنزلاقيّة [18].

لقد حظت سبائك حديد الزهر اللدن وبمختلف حالاتها الميتالورجية (الفيراتيتية، الباينيتية، المارتنزاتيتية، المراجعة حراريًّا، المطبعة تطبيع اوستينيتية، والمعاملة حراريًّا بالليزر) باهتمام كبير من قبل العديد من الباحثين الترايبولوجيين خلال العشر سنوات الماضية لما لهذه السبائك الهندسية من تطبيقات صناعية متعددة في العديد من أجزاء المكان والمعدات الميكانيكية [19-24] . حيث قام الباحثان (M.Kawamoto & K.Okabayashi) [25] بدراسة البلي الأنزلاقي الجاف لحديد الزهر ذي الكرافيت الشري وحديد الزهر ذي الكرافيت الكروي (Flake and Spheroidal G.C.I.) كدالة لدرجات حرارة السطوح الأنزلاقيّة المحتكمة. وتوصلوا ان هناك درجتان حراريتان للسطح الأنزلاقي، هما درجة الحرارة اللحظية (Flash Temperature) والتي تمثل معدل درجة

الحرارة لمساحات التماس الحقيقية ما بين السطوح الانزلاقية المحكمة. ومتوسط درجة الحرارة (The Mean Temperature) والتي تمثل متوسط درجة الحرارة لمساحات التماس الظاهرية . فعندما يكون متوسط درجة الحرارة أقل من (400) °م فإن البلي يصل إلى أقصى قيمة عندما تكون درجة الحرارة اللحظية ضمن مدى يتراوح ما بين (300-400) °م وفيما بعد يتناقص مع الزيادة المستجدة في درجة الحرارة اللحظية . حيث انهم لا يلاحظوا ان البلي يكون منخفضا عند درجات الحرارة الأدنى من (250) °م وأنه غير معتمد على ظروف الانزلاق كالسرعة ، الحمل ، درجة حرارة المحيط والضغط الجوي . مع ذلك عندما تقترب درجة الحرارة اللحظية من نقطة الانصهار فإن البلي يعتمد وبشدة على متوسط درجة الحرارة لأنه يصل إلى أدنى قيمة عندما يكون متوسط درجة الحرارة ادنى من (400) °م ، الا انه تجاوز متوسط درجة الحرارة الـ (400) °م في هذه الحالة سوف يحدث بليان وسوفان عالي جدا لسطح حديد الزهر وذلك نتيجة لحدوث انتقال وتحول مادة حديد الزهر للدن الى سطح المادة المحكمة معها والمرافقة لها أثناء عملية الانزلاق.

ونظراً للتأثير القوي لحرارة الاحتكاك على السلوك الترايبولوجي وفشل أغلب المركبات الانزلاقية في اجزاء المكائن بسببه، فإن عملية تقييم وقياس درجة الحرارة السطحية والقريبة من السطح ومعرفتها تعتبر بالغة الأهمية في العديد من التطبيقات الهندسية والصناعية بشكل عام والتطبيقات الترايبولوجية بشكل خاص، ولكون البحوث والدراسات التي بينت مدى تأثير درجة الحرارة السطحية على خصائص البلي الانزلاقي الجاف لحديد الزهر للدن البايني قليلة جدا ولعرض التعرف بصورة جلية ومفصلة على مدى تأثير درجة الحرارة السطحية على معدلات السوفان والبيليان ومعامل الاحتكاك لهذه السبيكة الهندسية ذات التطبيقات الصناعية الواسعة والمهمة تم إنجاز وأجراء هذه الدراسة البحثية الحالية.

### الاجراءات المختبرية

في هذه الدراسة البحثية تم تقييم درجة الحرارة السطحية المتولدة عن الاحتكاك ودراسة تأثيرها على خصائص وسلوك البلي الانزلاقي الجاف لحديد الزهر للدن البايني باستخدام جهاز قياس البلي الانزلاقي الجاف ذي ترتيبه المسمار على القرص (Pin - On - Disk) والمصمم طبقاً للمواصفات (American Society for Testing and Materials) لغرض الحصول على حالة التلامس ما بين العينة والقرص الدوار تحت تأثير الحمل العمودي المسلط. يتكون هذا الجهاز من محرك ذي سرعة دورانية ثابتة مقدارها (940) دوره/ دقيقة وذراع ذي مقطع مستطيل تثبت فيه العينة بواسطة ماسك (Holder) ذي قطر 11 ملم ، وقد ثبت على الذراع مقياس افعال (Strain Gauge) قياس قوة الاحتكاك (Friction Force) ، حيث يربط بمقياس افعال رقمي (Strain Indicator Meter) نوع (P-3500, Serial: No. 60850) لغرض قياس مقدار الانفعال في الذراع نتيجة لتأثير قوة الاحتكاك. ولقد تم استخدام أربعة أحمال عمودية هي (40,30,20,10) نيوتن وثلاث سرع انزلاقية خطية (2.2, 3.0, 1.4) متر/ثانية . وأجريت الاختبارات لجميع العينات في الهواء الجوي الاعتيادي وعند درجة حرارة الغرفة .

### العينات

تم استخدام عينات من حديد الزهر للدن البايني كمسبكة (Cast - As) والموضحة بنيتها المجهرية في الشكل ( ١ ) وقطر كل عينة مستخدمة في اختبار فحص البلي كان (10) ملم وبطول (15) ملم . اما التركيب الكيميائي للعينات المستخدمة في هذه الدراسة موضح في الجدول ( ١ ) .

### قياس متغيرات ومعاملات الاحتكاك والبلي Friction and Wear

#### تقييم وقياس درجة الحرارة السطحية الناتجة عن الاحتكاك Surface Temperature

أن الحرارة المتولدة على الأوجه البنية الانزلاقية (Sliding Interfaces) بسبب الاحتكاك تم تقييمها وقياسها بواسطة مزدوج حراري (Thermocouple) من نوع الألوميل والクロميوم (Alumel-Chromel) (Ni-Al/ Ni- Cr) في ثقب دقيق جداً ذي قطر (1) ملم في عينة حديد الزهر للدن البايني (المسمار) وقرب جدًا إلى سطحها المنزلاق على القرص ، حيث أن المسافة ما بين المزدوج الحراري المدفون وسطح العينة المنزلاق على القرص (2) ملم. المزدوج الحراري مربوط ومتصل مع مقياس حرارة رقمي (Thermometer 5000) من نوع (Digital) من نوع (Comork, type5015, Serial No. 11024) لقراءة وتسجيل درجة الحرارة أثناء عملية لانزلاق والاحتكاك، حيث إن الشكل (2) بين الجهاز والترتيبة المستخدمة في قياس درجة حرارة الاحتكاك لعينة حديد الزهر للدن البايني، وذلك عند تماستها مع قرص الفولاذ الكارboneي (Carbon Steel Disk) الدوار ذي

صلادة ( $Hv=674 \text{ Kgf/mm}^2$ )، حيث أن درجة الحرارة تسجل من خلال مقياس الحرارة الرقمي بعد زمن انزلاقي مقداره (5) دقائق وعلى مسافة (2) ملم من سطح العينة المنزلقة على القرص وتقاس وتحسب باستخدام الصيغ الرياضية الآتية [18] :-

$$T_b = T_0 + \frac{\alpha \mu W V_s L_b}{A_n K_m} \quad \dots \dots \dots (1) [18]$$

حيث أن

$T_b$  : درجة الحرارة السطحية لكتلة العينة (المسمار) ( $\text{م}^\circ$ ).  
 $T_0$  : درجة حرارة الغاطس (المزدوج الحراري) والتي تأخذ من قراءة الترمومتر الرقمي ( $\text{م}^\circ$ ).  
 $L_b$  : معامل كمية حرارة الاحتكاك الجزيئية (The Bulk Surface Temperature) (Fraction Factor of the Frictional Heat) المتولدة على الأوجه البيئية (Interfaces) المنزلقة لكل من العينة والقرص، حيث تؤخذ قيمته ( $\alpha = 1/2$ ) عندما يكون توزيع درجة الحرارة بحالة اتزان (Steady State) في كل من العينة والقرص.  
 $\mu$ :- معامل الاحتكاك (Coefficient of Friction) ويؤخذ من التجارب العملية للعينات حيث تم تقييمه عمليا.  
 $W$ :- الحمل العمودي المسلط بالنيوتون، حيث تم استخدام أربعة احمال عمودية (40, 30, 20, 10) نيوتن.  
 $V_s$ :- سرعة الانزلاق حيث استخدمت ثلاثة سرع انزلاقية خطية (3.0, 2.2, 1.4) متر/ثانية.  
 $L_b$ :- مكافئ مسافة الانتشار الخطى (متر) (The Equivalent Linear Diffusion Distance) ويمثل مسافة بعد المزدوج الحراري عن سطح العينة المنزلقة على القرص.  
 $A_n$ :- مساحة التماس الظاهرية (متر مربع) (The Nominal Contact Area)، حيث أنها تمثل مساحة نهاية العينة (Pin) وتحسب باستخدام القانون الآتى :- ( $A_n = 3.14 D^2 / 4$ ), حيث أن :-  
 $D$ :- يمثل قطر العينة (Pin) "متر".  
 $Km$ :- الموصلية الحرارية (واط / متر.  $\text{م}^\circ$ ) (Thermal Conductivity).

### قياس قوة ومعامل الاحتكاك Measurement of the Force and Coefficient of Friction

تم قياس قوة الاحتكاك من منحنى المعايرة (Calibration Curve) الخاص بجهاز مقياس الانفعال (Strain Meter) المستخدم في هذه الدراسة البحثية الحالية. أما حساب معامل الاحتكاك (Friction Coefficient) فيتم باستخدام القانون الرياضي الآتى:-

$$\mu = F/W \quad \dots \dots \dots (2) [1]$$

حيث ان:-

$\mu$ :- معامل الاحتكاك.

$F$ :- قوة الاحتكاك (نيوتون) حيث تستخرج من منحنى المعايرة الخاص بجهاز مقياس الانفعال.

$W$ :- الحمل العمودي المسلط (نيوتون).

حساب معدل السوفان والبلي

يتم حساب معدل السوفان والبلي باستخدام الصيغة الرياضية الآتية :-

$$(WearRate) = \frac{\Delta W}{S} \quad \dots \dots \dots (3) [6]$$

حيث إن :

$\Delta W$ :- الوزن المفقود (غرام) وهو الاختلاف و الفرق بالوزن للعينة قبل وبعد الاختبار والتشغيل .

$$(WeightLoss) \Delta W = W_1 - W_2 \quad \dots \dots \dots (4)$$

$W_1$  : وزن العينة قبل التشغيل والفحص (غرام) .

$W_2$  : وزن العينة بعد التشغيل والفحص (غرام) .

S : مسافة الانزلاق (سم).

### النتائج والمناقشة

أن النتائج المختبرية التي تم الحصول عليها عملياً عند السرع الانزلاقية المستخدمة في هذه الدراسة البحثية موضحة في الشكل (3)، يلاحظ من الشكل بأن درجة الحرارة السطحية والمفاسة على بعد (2) ملم من سطح العينة تصبح تقريباً ثابتة بعد مرور زمن انزلاقي قدره (3) دقائق على الرغم من أن هناك بعض التذبذب في قراءات درجة الحرارة المسجلة مع الزمن وقد جاء ذلك مطابقاً لما تم التوصل إليه من قبل الباحث (Kawamoto et al. [25]). حيث يفسر ذلك على أساس افتراض أن انسياب حرارة الاحتكاك خلال العينة والفرص المحتك معها يكون بحالة أتزان (Steady State) أثناء عملية انزلاقهما على بعضهما البعض عند الاختبار والتشغيل. كما ويتبين من الشكل اعلاه بأن متوسط درجة الحرارة السطحية يزداد كلما زادت سرعة الانزلاق حيث أنها تكون أقصى ما يمكن عند السرعة الانزلاقية (3.0) متر/ثانية. ويعزى سبب ذلك إلى أن تسرب الحرارة خلال معدن العينة والفرص يكون عند السرع الانزلاقية العالية أقل مما عليه في السرع الانزلاقية الواطئة ، مما ينتج عن ذلك ارتفاع درجة حرارة سطح التلامس عند السرع العالية وزيادة قابلية السطوح المنزلاقة على التفاعل مع الرطوبة والهواء الجوي . ان تكون طبقة من الألوكسيد على سطح التلامس تعمل على تقليل حصول احتكاك سطح عينة حديد المباشر ما بين السطحين المنزلاقين مؤدياً إلى خفض وتقليل معدلات البلي هذا ما أكدته الدراسات [21, 23, 25]. لقد وجد من خلال قياس مقاومة التماس ما بين السطوح الانزلاقية المحركة بأن حدوث التماس فيما بينهما يكون متقطع (Intermittent Contact) أثناء عملية الانزلاق عند السرع الانزلاقية العالية . فعند احتكاك سطح عينة حديد الزهر للدن البايني على سطح الفولاذ يحدث انتقال دقائق وقطع معدنية من مادة العينة إلى سطح القرص المحتك معها (شكل 4) ، لوحظ بأن هذه الدقائق لا تكون مقصوصة من سطح العينة بل منتزة منه . ويفسر ذلك على أساس أن هناك فترات انزلاقية حقيقة وظاهرة ، تكون هذه الفترات متتساوية عند السرعة (2.2) متر/ثانية كما أشار إليه الباحث (Kawamoto et. al. [25]). إلا أنه الفترات المتقطعة (الحقيقية) تتشاً وتبدأ بالظهور عند هذه السرعة . وفيما بعد تزداد بزيادة سرعة الانزلاق . فلو أن كل فترة متقطعة (حقيقية) تكون متساوية إلى  $^{3.0}$  ثانية فإن فترة الانزلاق تصل إلى حوالي (20%) من فترة الانزلاق الظاهرة عند السرع الانزلاقية الأعلى من السرع المستخدمة في هذه الدراسة الحالية (أعلى من 6 متر/ثانية) لذلك فإن الحرارة المجهزة إلى عينة الاختبار (المسمار) أثناء عملية الانزلاق وخلال زمن التماس الحقيقي والظاهري سوف تزداد بازدياد سرعة الانزلاق على افتراض أن حرارة الاحتكاك الناتجة عن عملية الانزلاق تكون بنفس المعدل عند كلا التماسين المتقطع والمستمر . لذلك فإن درجة الحرارة السطحية تزداد مع زيادة سرعة الانزلاق.

أن درجة الحرارة اللحظية المتولدة نتيجة لانزلاق السطوح على بعضها البعض تزداد مع زيادة سرعة الانزلاق، حيث عندما تكون درجة الحرارة السطحية المتوسطة أقل من (400) $^{\circ}\text{C}$  فإن عملية البلي لسطح حديد الزهر للدن تعتمد بصورة رئيسية على درجة الحرارة اللحظية حسب ما أكد الباحث (Kawamoto et. al. [25]) ولا يؤخذ بنظر الاعتبار كل من شكل دقائق الكرافيت ، بنية الأرضية وظروف الانزلاق كالحمل والسرعة. حيث أن معدل البلي لحديد الزهر للدن يصل إلى قيمة عالية عند مدى درجة الحرارة اللحظية من (300—400)  $^{\circ}\text{C}$  [25] . فيما بعد يتناقص معدل البلي مع زيادة درجة الحرارة اللحظية . يلاحظ من خلال الشكل (5) بأن معدل البلي يصل إلى أقصى قيمة عند السرعة الانزلاقية (1.4) متر/ثانية ويعزى سبب ذلك أن درجة الحرارة اللحظية لعينة الاختبار واقعة ضمن مدى درجة الحرارة (300—400)  $^{\circ}\text{C}$  عند هذه السرعة مما ينتج عن ذلك معدل بلي عالي عند هذه السرع الانزلاقية الواطئة كما بينه الشكل (5) الانف الذكر. إلا أن زيادة سرعة الانزلاق إلى أعلى من (1.4) متر/ثانية يسبب حصول ارتفاع في درجة الحرارة السطحية مما يؤدي ذلك إلى حصول تناقص تدريجي في معدل البلي كما هو مبين في الشكل (6)، أي أنه مع زيادة سرعة الانزلاق ينتج عن ذلك تناقص في معدلات البلي بسبب ارتفاع درجة الحرارة السطحية لعينة الاختبار. ان زيادة سرعة الانزلاق تسبب حصول تغيرات كبيرة في عملية السوفان والبلي مع الحمل العمودي المسلط ودرجة حرارة المحيط والضغط الجوي ، حيث أن تلك العوامل ممكن أن تعمل على تغيير مدى درجات الحرارة الناتجة عن سرعة الانزلاق بحيث تجعل درجة الحرارة اللحظية الناتجة عنها واقعة ضمن المدى (300—400)  $^{\circ}\text{C}$  مما ينتج عن ذلك معدلات بيان وسوفان عالية لحديد الزهر للدن البايني كما هو موضح في الشكل (6).

من المعروف أن معدل البلي الانزلاقي الجاف لحديد الزهر والفولاذ عند حمل ثابت في الهواء الجوي الاعتيادي يتغير مع سرعة الانزلاق [3,6]. حيث يكون ذا قيمة عالية عند السرعة الانزلاقية المنخفضة نسبياً وذا قيمة منخفضة عند السرعة الانزلاقية العالية نسبة للمواد اللينة كالمواد الملونة ،المعادلة أو المواد المبردة تبريداً بطيناً أثناء عمليات سباكتها، ويعزى سبب ذلك إلى أنه عند السرع الانزلاقية المنخفضة احتمالية حصول عملية

الأكسدة تكون قليلة ، مما ينتج عن ذلك معدلات بلى عالية بسبب حصول اتصال معدني مباشره ما بين سطح العينة والقرص وتوليد حطام بلى معدني كما هو مبين في الشكل (7) أما عند السرع الانزلاقي العالية فيلاحظ بأن درجة الحرارة السطحية المتوسطة تصل أقصى ما يمكن عند السرعة (3.0) متر / ثانية ، حيث أنها تتتجاوز درجة الحرارة (400) م° . كما أن تسرب الحرارة خلال معدن العينة عند هذه السرعة يكون أقل مما عند السرعة (1.4) متر / ثانية مما ينتج عن ذلك تكون طبقة من الأوكسيد على سطح التلامس لكل من العينة والقرص مؤديا إلى تقليل وانخفاض معدل البلي لسيكة حديد الزهر للدن البابيني.

يبين الشكل (8) بأن متوسط درجة الحرارة السطحية الناتجة عن عملية انزلاق واحتكاك عينة حديد الزهر للدن البابيني على سطح القرص الفولاذي الدوار يزداد بازدياد الحمل العمودي المسلط مما ينتج عن ذلك ازدياد معدل البلي ايضا مع ازدياد الحمل العمودي المسلط (الشكل 9) . ان معدل البلي للفولاذ يتغير مع الحمل العمودي المسلط ويمكن أن يصل إلى أقصى وأدنى قيمة عند بعض السرع الانزلاقيه ، الا أنه لحديد الزهر للدن فإن زيادة الحمل العمودي المسلط ينتج عنهم معدلات بليان وسوفان عالية وعند جميع السرع كما هو مبين في الشكل (9) أعلى حيث أن كل من متوسط درجة الحرارة السطحية ومعدل البلي يكونان منخفضين عند الأحمال الأقل من (20) نيوتن ومرتفعين عند الأحمال الأعلى من ذلك ويعزى سبب ذلك إلى أنه بزيادة الحمل العمودي المسلط تحصل زيادة درجة الحرارة اللحظية لعينة حديد الزهر للدن حيث تصيب مرتفعة جدا عند بعض مساحات التلامس بحيث تصل أو تقترب من نقطة الانصهار . في هذه الحالة سوف يكون بلى سطح العينة مسيطر عليه بصورة رئيسية عن طريق متوسط درجة الحرارة السطحية كما أن هذه الدرجة تزداد مع زيادة الحمل المسلط كما أكدته الدراسة [25] لكنه إذا تجاوز متوسط درجة الحرارة ال (400) م° فإنه سوف يحدث التصاق وتلف كبير لسطح العينة وذلك بسبب انتقال مادة حديد الزهر للدن البابيني إلى سطح المادة المرافق لها والمحتكمة معها (القرص الدوار) . ومن خلال الشكل (9) يلاحظ بأن معدل البلي يكون ذا قيمة عالية عند مدى الأحمال من (30-40) نيوتن لأنه عند هذا المدى من الأحمال وخاصة عند الحمل (40) نيوتن يصبح متوسط درجة الحرارة أعلى من (400) م° إضافة إلى أنه هذا المدى ينتج عنه مدى من درجات الحرارة السطحية ما بين (310-360) م° بالنسبة لهذه السبيكة حيث بين هذا المدى من الأحمال ودرجات الحرارة يحصل تحول في نوع البلي من البلي المتوسط (The Mild Wear) إلى البلي الشديد (The Severe Wear) مما ينتج عن ذلك معدلات بليان وسوفان عالية جدا لسيكة حديد الزهر للدن البابيني.

من خلال النتائج يتبيّن بأن تغييرات البلي مع السرع الانزلاقي والحمل العمودي المسلط تعتمد بصورة رئيسية على درجات الحرارة السطحية الناتجة عنهم على الرغم من أن تأثيرهما على البلي لا يمكن أن يهمل عملياً ومختبرياً . إضافة إلى ذلك يجب تجنب استخدام مدى الأحمال (30-40) نيوتن اثناء العمل والخدمة لسيكة حديد الزهر للدن البابيني وكذلك مدى درجات الحرارة (310-360) م° الناتجة عن التطبيقات العملية التي تستخد فيتها هذه السبيكة الصناعية أثناء ازلاقها واحتكاكها مع المواد الأخرى ، حيث يتم ذلك عملياً أما بواسطة تغير سرعة الانزلاق ، الحمل العمودي المسلط أو الحمل المسلط لأنه ينتج عن هذين المديين من الأحمال ودرجات الحرارة بليان سطوح هذه السبيكة بمعدلات كبيرة جدا أثناء عمليات الاحتكاك والانزلاق .

يوضح الشكل (10) تأثير متوسط درجة الحرارة السطحية على معامل الاحتكاك، أنه كلما تزداد درجة الحرارة السطحية يزداد معامل الاحتكاك ويعزى سبب ذلك إلى أن ارتفاع درجة حرارة السطح المنزلاق يؤدي إلى حصول تلين حراري (Thermal Softening) لتواءاتها السطحية ونتيجة للحمل العالي المسلط على قمم هذه التلوّمات أثناء عملية الانزلاق سوف يحصل لها انسياط لدن كبير مسبباً تسطح هذه التلوّمات عند منطقة التلامس ، مما ينتج عن ذلك زيادة في منطقة التلامس الحقيقية ما بين العينة والقرص وهذا يؤدي إلى ازدياد معامل الاحتكاك مع زيادة درجة الحرارة كما أن لدرجة الحرارة تأثير كبير على خصائص طبقة الكرافيت المكونة ما بين سطح العينة والقرص المحتك معها حسب ما هو مبين في الشكل (11)، حيث يتبيّن من خلال هذا الشكل أن قابلية التزبيب لطبقة الكرافيت تصبح جيدة عند درجات الحرارة الأقل من (100) م° الا أنه مع ارتفاع درجة الحرارة السطحية يزداد معامل الاحتكاك وذلك بسبب حدوث تقبسية وتصليل لطبقة الكرافيت مع ارتفاع درجة الحرارة .

## الاستنتاجات

ان اهم الاستنتاجات التي تم التوصل اليها من خلال هذه الدراسة البحثية هي:-

1. ان درجة الحرارة المقاسة من خلال هذا الدراسة لاسطح عينات سبيكة حديد الزهر للدن البابيني تصبح ثابتة تقريبا بعد مرور زمن انزلاقي قدره (3) دقائق لأن انسياط حرارة الاحتكاك يكون بحاله اتزان اثناء عملية احتكاك وانزلاق عينة السبيكة على القرص الدوار.
2. يزداد متوسط درجة الحرارة السطحية كلما زادت سرعة الانزلاق مما ينتج عن ذلك تناقص معدلات البليان وسوفان مع زيادة سرعة الانزلاق.

٣. ان معدل البلي الانزلاقي الجاف لسيكة حديد الزهر للدن البالنياتي يتغير مع تغير سرعة الانزلاق ، حيث يكون ذا قيمة عالية عند السرعة الانزلاقية المنخفضة نسبيا (٤.١ متر/ثا) وذا قيمة منخفضة عند السرعة الانزلاقية العالية (٣.٠٠ متر/ثا).
٤. ان درجة الحرارة السطحية تتغير مع سرعة الانزلاق ، وتسجل اعلى قيمها عند السرعة الانزلاقية (٣.٠٠ متر/ثا).
٥. ان درجة الحرارة السطحية الناتجة عن عملية انزلاق واحتكاك حديد الزهر للدن على سطح القرص الفولاذي الدوار تزداد بازدياد الحمل العمودي المسلط مما ينتج عن ذلك ازدياد معدل البلي و عند جميع السرع الانزلاقية المستخدمة في هذه الدراسة البحثية. وان معدل البلي يكون ذا قيمة عالية عند مدی الاحمال من ٣٠ الى ٤٠ نيوتن م° ودرجات الحرارة السطحية تكون ما بين ٣١٠ - ٣٦٠ م° ، لذلك يجب تجنب مثل هكذا مدیات من الاحمال ودرجات الحرارة في التطبيقات الصناعية التي تستخدم فيها هذه السبیکة اثناء عملية انزلاقها واحتكاكها مع الاجزاء الميكانيکية الاخرى حسب ما تم التوصل اليه من خلال هذه الدراسة ويتم ذلك اما بواسطة تغير سرعة الانزلاق المستخدمة ، الحمل العمودي المسلط او درجة حرارة المحيط لانه ينتج عن هذین المدیات من الاحمال ودرجات الحرارة بليان سطوح هذه السبیکة بمعدلات كبيرة جدا اثناء العمل والخدمة.
٦. يزداد معامل الاحتكاك لسيكة حديد الزهر البالنياتي مع زيادة درجة الحرارة.
٧. ان درجة الحرارة السطحية لها تأثير كبير على خصائص طبقة الكرافیت المكونة ما بين سطح عينة حديد الزهر للدن البالنياتي والقرص المحتك و المراافق لها وان قابلیة التزبیت لطبقة الكرافیت تصبح جيدة عند درجات الحرارة الاقل من 100 م° الا انه مع ارتفاع درجة الحرارة السطحية يزداد معامل الاحتكاك بسبب حدوث تقوییة وتصلید لطبقة الكرافیت مع ارتفاع درجة الحرارة بالإضافة الى حصول تلین حراري للنتوءات السطحية وزيادة المساحة السطحية للسطح الانزلاقیة المترافقه.

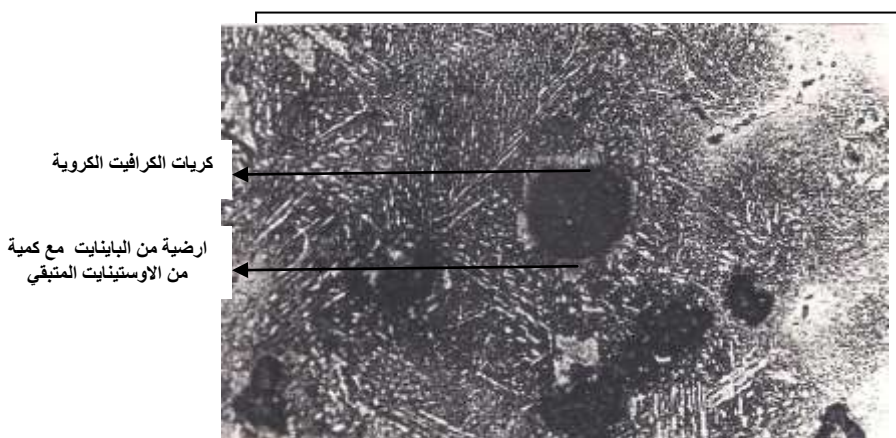
#### شكر وتقدير Acknowledgement

ينقدم الباحث بالشكر الجليل والامتنان العاليين الى قسم هندسة الانتاج والمعادن وكذلك قسم التدريب والمعامل في الجامعة التكنولوجية - بغداد لما ابده من روح المساعدة والتلقاني في انجاز كافة التجارب العملية لهذا البحث وتوفیرهم كافة الاجهزه والمعدات للباحث من اجل انجاز واتمام هذا البحث العلمي والذي لو لا جهودهم القيمة ودعمهم المتواصل لما انجز هذا البحث.

#### REFERENCES

- [1] A.D. Sarkar, (Friction and Wear); Academic Press, (1980), pp.143-144.
- [2] A.D. Sarkar, (Wear of Metals); Pergamon Press, (1979), pp. 2-44.
- [3] Rac A., "Influence of load and speed on wear grey cast iron in dry sliding-selection for minimum wear", Tribology International Journal, 18(1985), (1), pp. 29 - 33.
- [4] B.K. Gupta, (Lectures on Tribology "Friction, Lubrication and Wear), (1995), pp. 36-39.
- [5] Stavrev D., Dikova Ts., "Behavior of graphite in laser surface hardening of irons", International Virtual Journal for Science, Technics and Innovations for the Industry, Published by Bulgarian Scientific Technical Union of Mechanical Engineering, Issue 4-5/(2007).
- [6] Adel K. M., Dhia A. S., Maryam J. Gh., "The effect of laser surface hardening on the wear and friction characteristics of acicular bainitic ductile-Iron", International Journal on Mechanical and Materials Engineering (IJMME), Vol.4, No.2, (2009), pp.65-69.
- [7] Dimitar Stavrev, Tsanka Dikova," Structure features of martensite and residual austenite during treatment with concentrated energy fluxes ", Trans Tech Publications, Switzerland, doi:10.4028/www.scientific.net/AMR.83-86.889, Advanced Materials Research Vols. 83-86, (2010), pp.889-895.
- [8] C.Lipson and L.V. Coowell, (Hand Book of Mechanical Wear), Ann Arbor, University of Michigan Press, (1961).
- [9] B.W. Sakman, (Jou. of Appl. Mech.), (1947), pp. 14&43.
- [10] F. T. Barwell, (Jou. Inst. Metals), Symposium, Vol. 80, Monograph No. 13, (1952).
- [11] N. C. Welsh, (Proc. Inst. Mech. Engrs.), Conference on Lubrication and Wear, (1957).

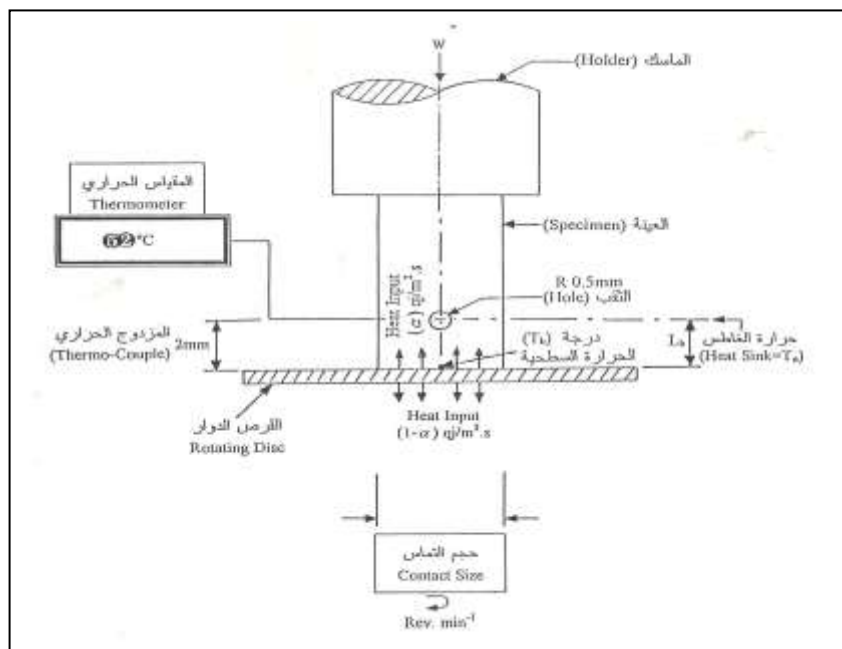
- [12] R. Wilson, (Influence of Oxide Films on Metallic Friction), Friction of Metals, (1955), pp. 451-453.
- [13] R. Wilson, (Proc. Phys. Soc.), London B68, (1955), pp. 625.
- [14] D. Tabor, (Wear- A Critical Synoptic View), Transaction of the ASME, Journal of Lubrication Technology, Oct. (1977), pp. 387-395.
- [15] S. Y. Bunny, (Dry adhesive wear of brass against carbon steel disc), M.Sc. Thesis, University of Technology, Baghdad, (1982), p. 9.
- [16] S. W. Earless and D. G. Powell, (Proc. Inst. Mech. Engrs.), Vol. 182, Part 3N, (1986), Part 3G (1967-1968).
- [17] L.E. Sibley, A.E. Nace, D.R. Grieser and Allen C.M. Wadd, (Tech. Report), (1960), pp. 60-45.
- [18] J.N. Sultan, (Study of adhesive wear of different stacking fault energy alloys under dry sliding conditions), Ph.D. Thesis University of Technology, Baghdad, (1995), pp. 13-44.
- [19] Martins, R., Seabra, J. and Magalhães, L., “Austempered ductile iron (ADI) gears: power loss, pitting and micropitting”, Wear, Vol. 264, (2008), p. 838.
- [20] Kayali, Y. et al., “Investigation of mechanical properties of tempered ductile iron”. Materials and Design, Vol. 31, (2010), p. 1799.
- [21] Kong, R. et al., “Wear characteristics of ductile cast iron crankshaft coating”, International Compressor Engineering Conference, School of Mechanical Engineering, Purdue University, China, (2010).
- [22] Mattar, A. R. et al., “Influence of alloying elements Cu, Ni and Mo on mechanical properties of austempered ductile iron”. International Heat Treatment and Surface Engineering, Vol. 5, (2011), p. 78.
- [23] Fábio, E. M. et al., “Wear behavior characterization and analysis of cast austempered ductile iron (ADI)”, 22nd International Congress of Mechanical Engineering (COBEM 2013) November 3-7, (2013), Ribeirão Preto, SP, Brazil.
- [24] Adel K. M., “Laser surface hardening of ductile cast-iron”, International Virtual Journal for Science, Technics and Innovations for the Industry, Issue12/(2013).
- [25] M. Kawamoto and K. Okabayashi (Study of dry sliding wear of cast iron as a function of surface temperature), Wear, 58 (1980), pp. 59-95.



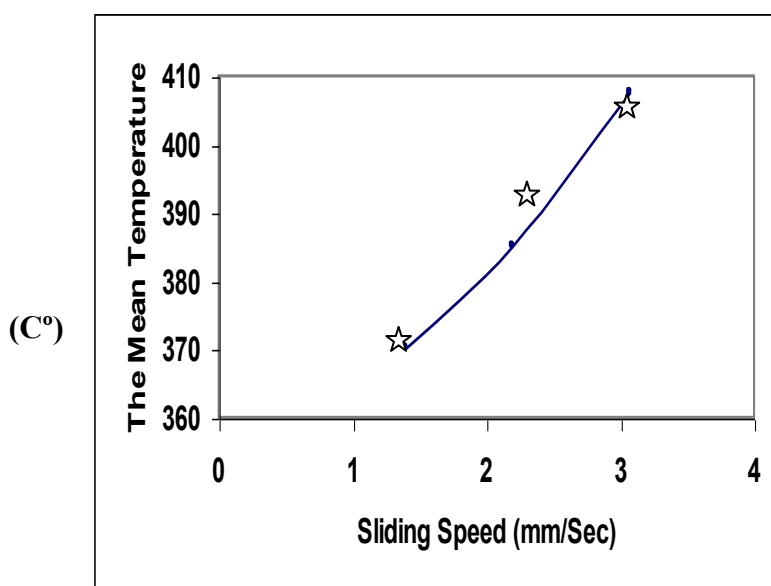
الشكل (١)- يوضح البنية المجهرية لسيكة حديد الزهر اللدن الباينيتي والتي تتكون من كريات الكرافيت في ارضية باينيتيه مع كمية من الاوستينيات المتبقى، قوة التكبير (٤٦٧X).

الجدول (١):- يبين التركيب الكيميائي (%) كنسبة مئوية لمكونات سبيكة حديد الزهر اللدن البايني المستخدمة في البحث الحالي.

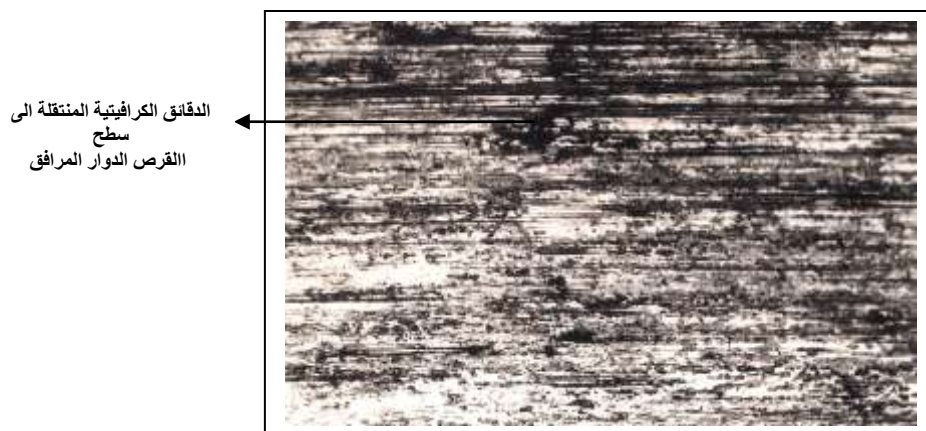
Si السيليكون	Mn المنغنيز	P الفسفور	S الكبريت	Cr الكروم	Mo المولبديوم	Ni النيكل	Cu النحاس	Mg المغنيسيوم	Al الالمنيوم	C الكاربون
2.77	0.3	0.02	0.01	0.05	0.028	3.8	0.08	0.0327	0.002	3.2



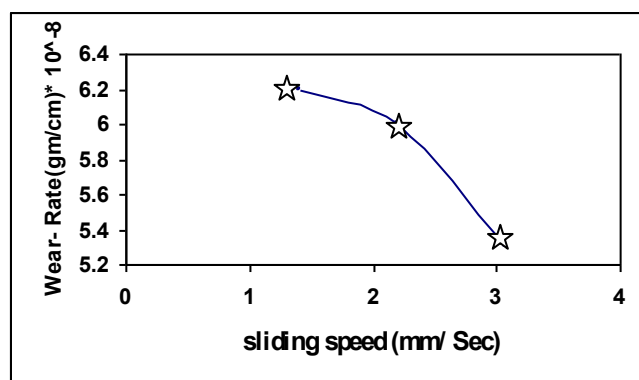
الشكل (٢):- يوضح الترتيبة المستخدمة في تقييم وقياس درجة الحرارة السطحية لسبائك حديد الزهر اللدن البايني اثناء انزلاقها على القرص الفولاذي الدوار المرافق لها.



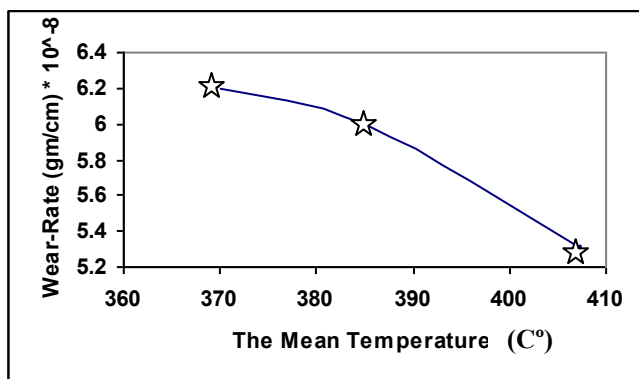
الشكل (٣):- يوضح العلاقة ما بين متوسط درجة الحرارة السطحية (C°) وسرعة الانزلاق لسبائك حديد الزهر اللدن البايني عند حمل عمودي مسلط (٣٠) نيوتن و زمن انزلاق قدره (٣٠) دقيقة.



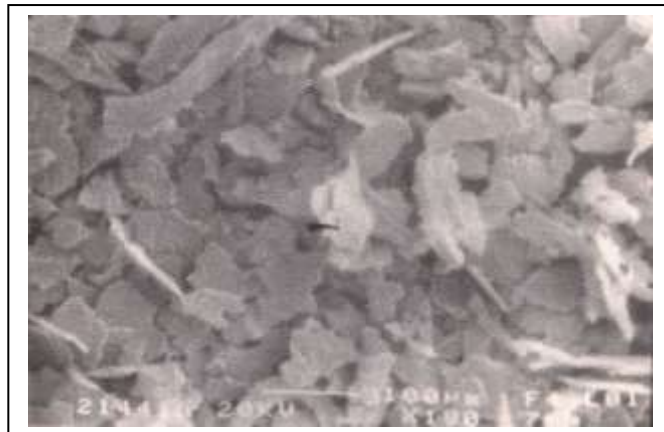
الشكل (٤):- يوضح صورة بالمجهر الضوئي تبين ان الدفائق المعدنية والكرافيتية المنتقلة من سطح سبيكة حديد الزهر اللدن الباينيتي الى سطح القرص الفولاذي الدوار المرافق لها اثناء عملية الانزلاق، قوة التكبير (144X).



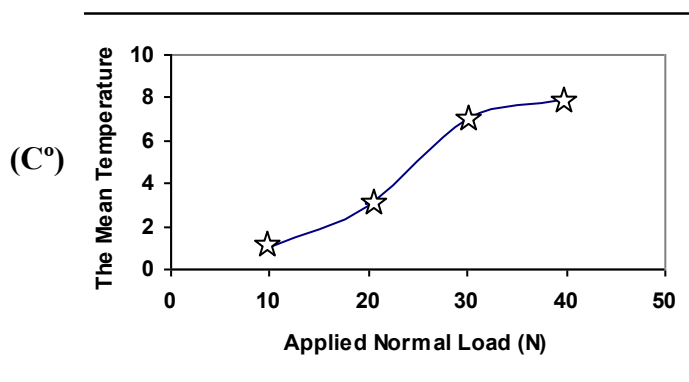
الشكل (٥):- يوضح العلاقة مابين معدل البلي وسرعة الانزلاق لسبائك حديد الزهر اللدن الباينيتي عند حمل عمودي مسلط (٣٠) نيوتن و زمن انزلافي قدره (٣٠) دقيقة.



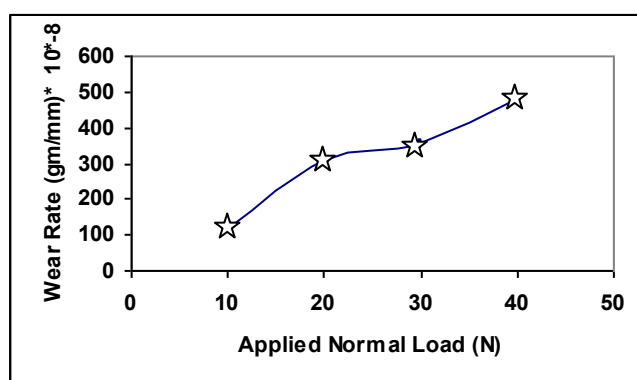
الشكل (٦):- يوضح العلاقة مابين معدل البلي ومتوسط درجة الحرارة السطحية لسبائك حديد الزهر اللدن الباينيتي عند حمل عمودي مسلط (٣٠) نيوتن و زمن انزلافي قدره (٣٠) دقيقة.



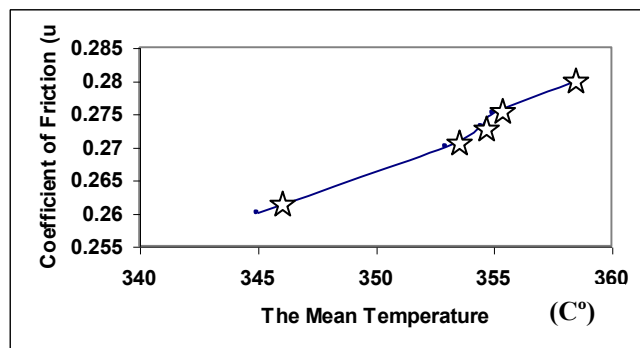
الشكل (٧):- يوضح صورة بالمجهر الإلكتروني الماسح (SEM) تبين دلائل حطام السوفان والبلي المعدنية لسبائك حديد الزهر اللدن البايني المتكونة عند سرعة انزلاقية (١.٤) متر/ثانية وحمل عمودي مسلط قدره (٣٠) نيوتن، قوة التكبير (125X).



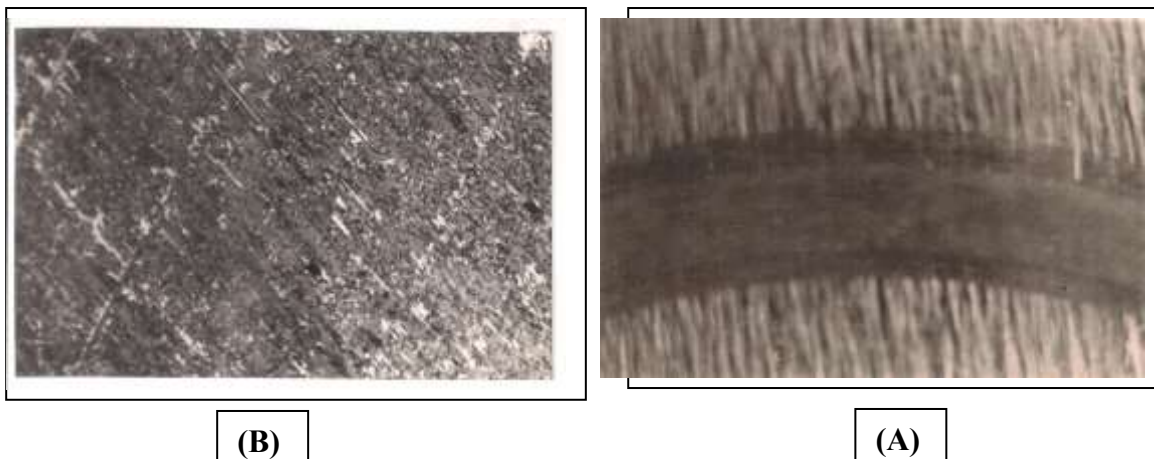
الشكل (٨):- يبين العلاقة ما بين متوسط درجة الحرارة السطحية لسبائك حديد الزهر اللدن البايني والحمل العمودي المسلط عند سرعة انزلاقية (٣٠) متر/ثانية و زمن انزلاقي قدره (٣٠) دقيقة.



الشكل (٩):- يبين العلاقة ما بين معدل البلي لسبائك حديد الزهر اللدن البايني والحمل العمودي المسلط عند سرعة انزلاقية (٣٠) متر/ثانية و زمن انزلاقي قدره (٣٠) دقيقة.



الشكل (١٠):- يبين العلاقة ما بين معامل الاحتكاك لسبائك حديد الزهر اللدن البايني ومتوسط درجة الحرارة السطحية عند حمل عمودي مسلط (٣٠)نيوتن، سرعة انزلاقية (٣.٠) متر/ثانية و زمن انزلاق قدره (٣٠) دقيقة.



الشكل (١١):- صور المجهر الضوئي توضح الاثر لمسار عينة حديد الزهر اللدن البايني على سطح القرص الفولاذى الدوار عند حمل عمودي مسلط (40) نيوتن، سرعة انزلاقية (1.4) متر/ثانية، زمن انزلاق (30) دقيقة، ودرجة حرارة سطحية اقل من (100) م° . قوة التكبير عند A = (2X)، وعند B = (144X).